

Theoretische Physik II

Elektrodynamik

Vorlesung von Prof. Dr. Michael Thoss im Wintersemester 2018

Markus Österle
Andréz Gockel

15.10.2018

Inhaltsverzeichnis

0	Einführung	2
0.1	Zur Vorlesung	2
0.2	Einführung und Überblick	3
0.2.1	Rückblick	3
0.2.2	Elektrodynamik	3
0.3	Aufbau der Vorlesung	3
1	Elektrostatik	4
1.1	Elektrische und Coulombsches Gesetz	4
1.1.1	Coulombsches Gesetz	4
1.2	Elektrisches Feld	5
1.2.1	Feld eines Systems von Punktladungen	5
1.2.2	Feld einer kontinuierlichen Ladungsverteilung	6
1.2.3	Ladungsdichte einer Punktladung	6
1.2.4	Flächenladungsdichte	7
1.2.5	Linenladungsdichte	8
1.3	Feldgleichungen und elektrostatische Potential	8
1.3.1	Elektrostatisches Potential	9
1.3.2	Feldgleichung (differentielle Form)	9
1.3.3	Divergenz (Quellen)	10
1.3.4	Zusammenfassung:	11
1.3.5	Integralsätze der Vektoranalysis	13
1.3.6	Integrale Form der Feldgleichung	15
1.3.7	Gaußsches Gesetz	15
1.3.8	Satz von Stokes	16
1.3.9	Zusammenfassung: Feldgleichungen der Elektrostatik	16
1.4	Elektrostatische Energie	16
1.4.1	Elektrostatische Potentielle Energie	17
1.5	Verhalten des el. Feldes an Grenzflächen mit Flächenladung	19

Kapitel 0

Einführung

0.1 Zur Vorlesung

Dozent Michael Thoss

Übungen Donnerstag/Freitag (ILIAS) beginnt 18./19.10.18

Übungsleiter Jakob Bätge

Abgabe der Hausaufgaben bis Dienstag 12:00 - Briefkasten GuMi

Klausur 13.02.19, 10-12 Uhr, Hörsaal Anatomie (Nachklausur: 26.19, 10-12 Uhr)

Ankündigungen ILIAS Pass: theophy2.thoss18

Angaben Vorlesung: 4 SWS, Übung: 2 SWS, ECTS: 7

Vorkenntnisse Mathematik: Analysis für Physiker (Vektor Rechnung), Theoretische Physik I, Experimental Physik II.

Hinweis zu den Übungen

- Keine Anwesenheitspflicht.
- Keine Punktzahl nötig für Klausurzulassung.
- Kann auch während Übungen abgegeben werden.

Lehrbücher:

- W. Nolting, *Grundkurs Theoretische Physik 3: Elektrodynamik* (Springer)
- D.J. Griffiths, *Elektrodynamik: Eine Einführung* (Pearson)
- T. Fließbach, *Elektrodynamik* (Spektrum Akademischer Verlag)
- J.D. Jackson, *Klassische Elektrodynamik* (Walter de Gruyter) [geht dieser Vorlesung hinaus](#)

0.2 Einführung und Überblick

Die vier fundamentalen Wechselwirkungen (WW):

- Starke WW
- Elektromagnetische WW Wird in dieser Vorlesung betrachtet
- Schwache WW
- Gravitation

0.2.1 Rückblick

Theoretische Physik 1:

- Mechanik
- Punktmechanik: Bahnkurven von Körpern
- Bewegungsgleichung: $m\ddot{\mathbf{r}} = \mathbf{F}$

0.2.2 Elektrodynamik

- Grundlegende Größen
- Felder
-

$$\begin{array}{cc} \mathbf{E}(\mathbf{r}, t) & \mathbf{B}(\mathbf{r}, t) \\ \text{elektrisches Feld} & \text{Magnetfeld} \end{array}$$

→ Feldtheorie sehr wichtiges Konzept

Wie sind Elektrische Felder definiert?

Experimentelle Definition als Messgröße: Kraft auf Ladung

$$\mathbf{F} = q(\mathbf{E}(\mathbf{r}, t) + \mathbf{v} \times \mathbf{B}(\mathbf{r}, t))$$

Theoretische Definition ist Mathematisch: Feldgleichungen-Maxwellgleichungen

$$\begin{aligned} \nabla \cdot \mathbf{E} &= \frac{1}{\varepsilon_0} \rho & \nabla \cdot \mathbf{B} &= 0 \\ \nabla \times \mathbf{E} + \frac{\partial \mathbf{B}}{\partial t} &= 0 & \nabla \times \mathbf{B} - \mu_0 \varepsilon_0 \frac{\partial \mathbf{E}}{\partial t} &= \mu_0 \mathbf{j} \end{aligned}$$

Hierbei steht ρ für die Ladungsdichte und \mathbf{j} für die Stromdichte.

0.3 Aufbau der Vorlesung

1./2. Statische Phänomene: $\frac{\partial \mathbf{E}}{\partial t} = 0 = \frac{\partial \mathbf{B}}{\partial t}$

$$\begin{aligned} \Rightarrow \nabla \cdot \mathbf{E} &= \frac{1}{\varepsilon_0} \rho & \nabla \cdot \mathbf{B} &= 0 \\ \underbrace{\nabla \times \mathbf{E} = 0}_{1. \text{ Elektrostatik}} & & \underbrace{\nabla \times \mathbf{B} = 0}_{2. \text{ Magnetostatik}} \end{aligned}$$

3. Zeitabhängige magnetische/elektrische Felder

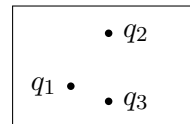
4. Relativistische Formulierung der Elektrodynamik

Kapitel 1

Elektrostatik

Wir beschäftigen uns in diesem Kapitel mit **ruhenden Ladungen** und **zeitunabhängigen Feldern**. Das Grundproblem besteht darin, dass wir eine Ladungsverteilung haben und das Elektrische Feld und dessen Potential bestimmen wollen.

→ Feld $\mathbf{E}(\mathbf{r})$, el. Potential $\Phi(\mathbf{r})$



1.1 Elektrische und Coulombsches Gesetz

Ladung: Beobachtungstatsachen:

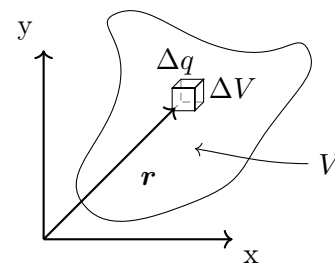
- i) Zwei Arten „+“, „-“
- ii) Abgeschlossenes System: Ladung erhalten: $q = \sum_i q_i = \text{const.}$
- iii) Ladung ist quantisiert in Einheiten der Elementarladung:

$$q = ne, \quad n \in \mathbb{Z}, \quad e = 1,602 \cdot 10^{-19} \text{ C}$$

$n = -1$: für ein Elektron wäre ein Beispiel einer Punktladung

Kontinuierliche Ladungsverteilung Ladungsdichte
 $\rho(\mathbf{r}) = \frac{\text{Ladung}}{\text{Volumen}} = \frac{\Delta q}{\Delta V}$ Gesamtladung in V :

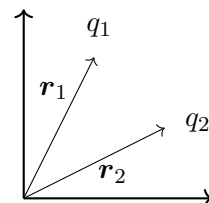
$$Q = \int_V d^3r \rho(\mathbf{r})$$



1.1.1 Coulombsches Gesetz

Die Kraft, welche eine am Ort \mathbf{r}_2 lokalisierte Punktladung auf eine Punktladung am Ort \mathbf{r}_1 ausübt, ist gegeben durch:

$$\mathbf{F}_{12} = k \frac{q_1 q_2}{|\mathbf{r}_1 - \mathbf{r}_2|^2} \underbrace{\frac{\mathbf{r}_1 - \mathbf{r}_2}{|\mathbf{r}_1 - \mathbf{r}_2|}}_{\mathbf{e}_{r_{12}}}$$



1. $\mathbf{F}_{12} \sim q_1 q_2$
2. $\mathbf{F}_{12} \sim \frac{1}{|\mathbf{r}_1 - \mathbf{r}_2|^2}$

3. $\mathbf{F}_{12} \sim q_1 q_2 \mathbf{e}_{r_{12}}$

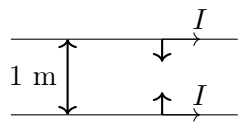
4. $\mathbf{F}_{12} = -\mathbf{F}_{21}$

Es gilt das Superpositionsprinzip: Das heißt, durch vektorielle Addition der Kräfte kann die Gesamtkraft ermittelt werden.

$$\mathbf{F}_1 = k \sum_{j=2}^N \frac{q_1 q_j}{r_{1j}^2} \mathbf{e}_{r_{1j}}$$

Zur Konstanten k : Die Konstante ist abhängig von dem verwendeten Maßsystemen.

- i) Gauß-System (cgs): $k \equiv 1$, $\text{dyn} = \frac{\text{g} \cdot \text{cm}}{\text{s}^2} = 10^{-5} \text{ N}$ $1 \text{ dyn} = \frac{(1\text{ESE})^2}{\text{cm}^2}$ $1\text{ESE} = \frac{\sqrt{\text{g} \cdot \text{cm}^3}}{\text{s}}$
- ii) SI (MKSA-System): Definition von A = Ampère

$$\frac{\Delta F}{\Delta l} = 2 \cdot 10^{-7} \frac{\text{N}}{\text{m}}$$


Strom = $\frac{\text{Ladung}}{\text{Zeit}} \Rightarrow 1\text{A} = \frac{1\text{C}}{1\text{s}} \rightarrow e = 1,602 \cdot 10^{-19} \text{ C} \quad c \approx 3 \cdot 10^8 \frac{\text{m}}{\text{s}}$

$$\frac{\Delta F}{\Delta l} = k \frac{2I^2}{c^2 d} \rightarrow k = 2 \cdot 10^{-7} \frac{\text{N}}{\text{m}} \frac{c^2 1\text{m}}{2(1\text{A})^2} = 10^{-7} c^2 \frac{\text{N}}{\text{A}^2}$$

$$k = \frac{1}{4\pi\epsilon_0}$$

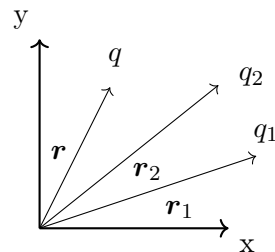
Damit erhalten wir für die Dielektrizitätskonstante des Vakuums:

$$\epsilon_0 = 8,85 \cdot 10^{-12} \frac{\text{C}^2}{\text{Nm}^2}$$

1.2 Elektrisches Feld

1.2.1 Feld eines Systems von Punktladungen

N -Ladungen q_1, \dots, q_N ruhen an den Orten $\mathbf{r}_1, \dots, \mathbf{r}_N$. Nun bringen wir eine Testladung q am Ort \mathbf{r} mit ein.



Kraft von q_1, q_2 auf q

$$\mathbf{F} = \frac{1}{4\pi\epsilon_0} q \sum_{j=1}^N q_j \frac{\mathbf{r} - \mathbf{r}_j}{|\mathbf{r} - \mathbf{r}_j|^3} = q\mathbf{E}(\mathbf{r})$$

Somit ist das elektrische Feld:

$$\mathbf{E}(\mathbf{r}) = \frac{1}{4\pi\epsilon_0} \sum_{j=1}^N q_j \frac{\mathbf{r} - \mathbf{r}_j}{|\mathbf{r} - \mathbf{r}_j|^3}$$

Bemerkung

i) Testladung klein (formal: $\lim_{q \rightarrow 0} \frac{\mathbf{F}}{q}$)

ii) math. $\mathbf{E}(\mathbf{r})$ Vektorpfeil

$$\text{kartesisch: } \mathbf{E}(\mathbf{r}) = \begin{pmatrix} E_x(\mathbf{r}) \\ E_y(\mathbf{r}) \\ E_z(\mathbf{r}) \end{pmatrix}$$

iii) Wechselwirkungsprozess: 2 Teile

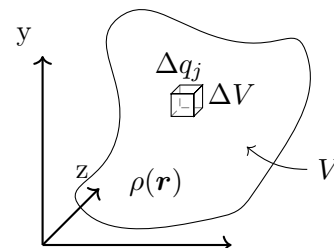
$$q_j \rightarrow \mathbf{E}(\mathbf{r}) \rightarrow \mathbf{F} = q\mathbf{E}(\mathbf{r})$$

iv) Superpositionsprinzip gilt

1.2.2 Feld einer kontinuierlichen Ladungsverteilung $\rho(\mathbf{r})$

$$\mathbf{E}(\mathbf{r}) = \frac{1}{4\pi\epsilon_0} \underbrace{\int_V d^3r' \rho(\mathbf{r}')}_{\text{schließt alle Ladungen ein}} \frac{\mathbf{r} - \mathbf{r}_j}{|\mathbf{r} - \mathbf{r}_j|^3}$$

$\rho(\mathbf{r}_j) = \frac{\Delta q_j}{\Delta V_j}$



$$\begin{aligned} \mathbf{E}(\mathbf{r}) &= k \sum_j \Delta q_j \frac{\mathbf{r} - \mathbf{r}_j}{|\mathbf{r} - \mathbf{r}_j|^3} \\ &= k \sum_j \Delta V_j \rho(\mathbf{r}_j) \frac{\mathbf{r} - \mathbf{r}_j}{|\mathbf{r} - \mathbf{r}_j|^3} \\ \text{mit } \Delta V_j \rightarrow 0 &\rightarrow k \int_V d^3r' \rho(\mathbf{r}') \frac{\mathbf{r} - \mathbf{r}'}{|\mathbf{r} - \mathbf{r}'|^3} \end{aligned}$$

1.2.3 Ladungsdichte einer Punktladung

Deltafunktion

$$\rho(\mathbf{r}) = q\delta(\mathbf{r} - \mathbf{r}_0)$$

Punktladung in $\mathbf{r}_0 \Rightarrow \rho(\mathbf{r}) = 0 \quad \mathbf{r} \neq \mathbf{r}_0$

Ladungsdichte divergiert in \mathbf{r}_0

$$\rho(\mathbf{r}_0) = \infty$$

Modell für Punktladung: Ladung q in Kugel mit Radius ε um \mathbf{r}_0 , $\varepsilon \rightarrow 0$

$$\rho_2(\mathbf{r}) = \begin{cases} \frac{q}{\frac{4}{3}\pi\varepsilon^3} & |\mathbf{r}| \leq \varepsilon \\ 0 & \text{sonst} \end{cases} = \frac{q}{\frac{4}{3}\pi\varepsilon^3} \underbrace{\Theta(\varepsilon - |\mathbf{r}|)}_{\text{Stufenfunktion}}$$

$$\rho(\mathbf{r}) = \lim_{\varepsilon \rightarrow 0} \rho_\varepsilon(\mathbf{r}) = \begin{cases} \infty & \mathbf{r} = 0 \\ 0 & \mathbf{r} \neq 0 \end{cases}$$

Divergenz muss so sein, dass

$$\int_V d^3r \rho(\mathbf{r}) = q$$

Definition Delta-Funktion (Diracsche Deltafunktion)

1.

$$\delta(\mathbf{r} - \mathbf{r}_0) = \begin{cases} \infty & \mathbf{r} \neq \mathbf{r}_0 \\ 0 & \mathbf{r} = \mathbf{r}_0 \end{cases}$$

2.

$$\int_V d^3r f(\mathbf{r}) \delta(\mathbf{r} - \mathbf{r}_0) = f(\mathbf{r}_0)$$

Mathematik Distribution - Funktional

Funktional: Abb. Funktionen $\mapsto \mathbb{R}, \mathbb{C}$

$$\delta_{\mathbf{r}_0} : f \mapsto f(\mathbf{r}_0)$$

Physik

$$\int d^3r f(\mathbf{r}) \delta(\mathbf{r} - \mathbf{r}_0) = f(\mathbf{r}_0)$$

δ -Fkt. als Grenzwert einer Folge von Funktionen im Integral

$$\int d^3r f(\mathbf{r}) \delta(\mathbf{r} - \mathbf{r}_0) = \lim_{\varepsilon \rightarrow 0} \int d^3r f(\mathbf{r}) g_\varepsilon(\mathbf{r} - \mathbf{r}_0)$$

mit

$$\lim_{\varepsilon \rightarrow 0} g_\varepsilon(\mathbf{r} - \mathbf{r}_0) = \begin{cases} 0 & \mathbf{r} \neq \mathbf{r}_0 \\ \infty & \mathbf{r} = \mathbf{r}_0 \end{cases}$$

$$\int_V d^3r g_\varepsilon(\mathbf{r} - \mathbf{r}_0) = 1$$

Beispiel: $g_\varepsilon(\mathbf{r} - \mathbf{r}_0) = \frac{\Theta(\varepsilon - |\mathbf{r}|)}{\frac{4}{3}\pi\varepsilon^3}$

Mehrere Punktladungen q_j in \mathbf{r}_j

$$\rho(\mathbf{r}) = \sum_j q_j \delta(\mathbf{r} - \mathbf{r}_j)$$

$$\begin{aligned} \Rightarrow \mathbf{E}(\mathbf{r}) &= \frac{1}{4\pi\varepsilon_0} \int_V d^3r' \rho(\mathbf{r}') \frac{\mathbf{r} - \mathbf{r}'}{|\mathbf{r} - \mathbf{r}'|^3} \\ &= \frac{1}{4\pi\varepsilon_0} \int_V d^3r' \sum_j q_j \delta(\mathbf{r} - \mathbf{r}_j) \frac{\mathbf{r} - \mathbf{r}'}{|\mathbf{r} - \mathbf{r}'|^3} \end{aligned}$$

1.2.4 Flächenladungsdichte

$$\sigma(\mathbf{r}) = \frac{\text{Ladung}}{\text{Fläche}} = \frac{\Delta q}{\Delta A}$$

erzeugte elektrisches Feld:

$$\mathbf{E}(\mathbf{r}) = \frac{1}{4\pi\varepsilon_0} \int_A \underbrace{df'}_{\text{Flächenelement}} \sigma(\mathbf{r}') \frac{\mathbf{r} - \mathbf{r}'}{|\mathbf{r} - \mathbf{r}'|^3}$$

Beispiel: Elektrisches Feld einer homogenen Flächenladung $\sigma = \text{const.}$ in x - y -Ebene

$$\mathbf{E}(\mathbf{r}) = \frac{1}{4\pi\varepsilon_0} \int_{-\infty}^{\infty} dx' \int_{-\infty}^{\infty} dy' \sigma \frac{\mathbf{r} - \mathbf{r}'}{|\mathbf{r} - \mathbf{r}'|^3} \quad \mathbf{r}' = (x', y', 0)$$

Symmetrie: \mathbf{E} unabhängig von x, y $\mathbf{r} = (0, 0, z)$

$$\mathbf{r} - \mathbf{r}' = (-x', -y', z), \quad |\mathbf{r} - \mathbf{r}'|^3 = (x'^2 + y'^2 + z^2)^{3/2}$$

$$E_x \sim \sigma \int_{-\infty}^{\infty} dx' \int_{-\infty}^{\infty} dy' \frac{(x')}{(x'^2 + y'^2 + z'^2)^{3/2}} = 0 = E_y$$

$$\mathbf{E} = (0, 0, E_z)$$

$$E_z = \frac{1}{4\pi\epsilon_0} \sigma \int_{-\infty}^{\infty} dx' \underbrace{\int_{-\infty}^{\infty} dy' \frac{(x')}{(x'^2 + y'^2 + z'^2)^{3/2}}}_{\frac{1}{x'^2 + z'^2} \frac{x'}{(x'^2 + y'^2 + z'^2)^{3/2}} \Big|_{-\infty}^{\infty} =}$$

1.2.5 Linienladungsdichte

$$\lambda(\mathbf{r}) = \frac{\text{Ladung}}{\text{Länge}} = \frac{\Delta q}{\Delta s}$$

$$\mathbf{E}(\mathbf{r}) = \frac{1}{4\pi\epsilon_0} \underbrace{\int_{\gamma} ds' \lambda(\mathbf{r}')}_{\text{Linienintegral}} \frac{\mathbf{r} - \mathbf{r}'}{|\mathbf{r} - \mathbf{r}'|^3}$$

Beispiel: Elektrisches Feld einer homogenen Linienladung $\lambda = \text{const.}$

$$\begin{aligned} \mathbf{E}(\mathbf{r}) &= \frac{1}{4\pi\epsilon_0} \int_{\gamma} ds' \lambda \frac{\mathbf{r} - \mathbf{r}'}{|\mathbf{r} - \mathbf{r}'|^3} \quad \gamma : z' \mapsto \mathbf{r}'(z') = \begin{pmatrix} 0 \\ 0 \\ z' \end{pmatrix} \\ &= \frac{\lambda}{4\pi\epsilon_0} \int_{-\infty}^{\infty} dz' \frac{\mathbf{r} - \begin{pmatrix} 0 \\ 0 \\ z' \end{pmatrix}}{(x^2 + y^2 + (z - z')^2)^{3/2}} \end{aligned}$$

$$\tilde{z} = z' - z$$

$$E_x = \frac{\lambda x}{4\pi\epsilon_0} \int_{-\infty}^{\infty} dz' \frac{1}{(x^2 + y^2 + (z - z')^2)^{3/2}} = \frac{\lambda}{4\pi\epsilon_0} \int_{-\infty}^{\infty} d\tilde{z} \frac{1}{(x^2 + y^2 + \tilde{z}^2)^{3/2}} = \frac{\lambda}{2\pi\epsilon_0} \frac{x}{x^2 + y^2}$$

$$E_y = \frac{\lambda}{2\pi\epsilon_0} \frac{y}{x^2 + y^2}$$

$$E_z = \frac{\lambda}{4\pi\epsilon_0} \int_{-\infty}^{\infty} dz' \frac{z - z'}{(x^2 + y^2 + (z - z')^2)^{3/2}} = 0$$

$$\mathbf{E}(\mathbf{r}) \frac{\lambda}{2\pi\epsilon_0} \frac{1}{XXX}$$

1.3 Feldgleichungen und elektrostatische Potential

$$\mathbf{E}(\mathbf{r}) = \frac{1}{4\pi\epsilon_0} \int d^3r' \rho(\mathbf{r}') \frac{\mathbf{r} - \mathbf{r}'}{|\mathbf{r} - \mathbf{r}'|^3}$$

1.3.1 Elektrostatistisches Potential

elektrische Feld ist ein Potentialfeld $\mathbf{E}(\mathbf{r}) = -\nabla\phi(\mathbf{r}) = -\left(\mathbf{e}_x \frac{\partial\phi}{\partial x} + \mathbf{e}_y \frac{\partial\phi}{\partial y} + \mathbf{e}_z \frac{\partial\phi}{\partial z}\right)$

$$\frac{\mathbf{r} - \mathbf{r}'}{|\mathbf{r} - \mathbf{r}'|^3} = -\nabla \frac{1}{|\mathbf{r} - \mathbf{r}'|}$$

$$-\frac{\partial}{\partial x} \frac{1}{[(x-x')^2 + (y-y')^2 + (z-z')^2]^{1/2}} = -\left(-\frac{1}{2}\right) \frac{2(x-x')}{[(x-x')^2 + (y-y')^2 + (z-z')^2]^{3/2}} = \frac{(x-x')}{|\mathbf{r} - \mathbf{r}'|^3}$$

$$\Rightarrow \mathbf{E}(\mathbf{r}) = \frac{1}{4\pi\epsilon_0} \int d^3r' \rho(\mathbf{r}') \left(-\nabla_{\mathbf{r}} \frac{1}{|\mathbf{r} - \mathbf{r}'|} \right) = \nabla_F \frac{1}{4\pi\epsilon_0} \int d^3r' \frac{\rho(\mathbf{r}')}{|\mathbf{r} - \mathbf{r}'|}$$

→ elektrostatisches Potential

$$\phi(\mathbf{r}) = \frac{1}{4\pi\epsilon_0} \int d^3r' \frac{\rho(\mathbf{r}')}{|\mathbf{r} - \mathbf{r}'|} + c$$

übliche Konvention: $c = 0$ ($\phi(\mathbf{r}) \mid \mathbf{r} \rightarrow \infty \rightarrow 0$)

Potential einer Punktladung in \mathbf{r}_0 :

$$\rho(\mathbf{r}) = q\delta(\mathbf{r} - \mathbf{r}_0)$$

$$\phi(\mathbf{r}) = \frac{1}{4\pi\epsilon_0} \int_{\mathbb{R}^3} d^3r' \frac{q\delta(\mathbf{r}' - \mathbf{r}_0)}{|\mathbf{r} - \mathbf{r}'|} = \frac{1}{4\pi\epsilon_0} \frac{q}{|\mathbf{r} - \mathbf{r}_0|}$$

E

(Funktional-analysis Siegfried Großmann Springer)
(Landau-Lipschitz Buch geht weit der Vorlesung hinaus)

1.3.2 Feldgleichungn (differentielle Form)

Rotation (Wirbel)

$$\text{rot } \mathbf{E} \nabla \times \mathbf{E} = \mathbf{e}_x \left(\frac{\partial E_z}{\partial y} - \frac{\partial E_y}{\partial z} \right) + \mathbf{e}_y \left(\frac{\partial E_x}{\partial z} - \frac{\partial E_z}{\partial x} \right) + \mathbf{e}_z \left(\frac{\partial E_y}{\partial x} - \frac{\partial E_x}{\partial y} \right) \Rightarrow \nabla \times$$

$$\Rightarrow \nabla \times \mathbf{E} = -\nabla \times (\nabla\phi) = 0$$

Mathe: Es sind äquivalent

i $\mathbf{E} = -\nabla\phi$

ii $\nabla \times \mathbf{E} = 0$ (auf einfach zusammenhäng. Gebiet)

iii Kurvenintegral $\int_{\gamma} d\mathbf{r} \cdot \mathbf{E}$ ist wegunabhängig

$$\int_{\mathbf{r}_1}^{\mathbf{r}_2} d\mathbf{r} \cdot \mathbf{E} = - \int_{\mathbf{r}_1}^{\mathbf{r}_2} dt \underbrace{\frac{d\mathbf{r}}{dt} \times \nabla\phi(\mathbf{r}(t))}_{\frac{d\phi}{dt}} = \underbrace{(\phi(\mathbf{r}_2) - \phi(\mathbf{r}_1))}_{\text{Potentialdifferenz}}$$

1.3.3 Divergenz (Quellen)

$$\operatorname{div} \mathbf{E} = \nabla \cdot \mathbf{E} = \frac{\partial E_x}{\partial x} + \frac{\partial E_y}{\partial y} + \frac{\partial E_z}{\partial z}$$

$$\begin{aligned} \nabla \cdot \mathbf{E}(\mathbf{r}) &= \nabla_{\mathbf{r}} \cdot \frac{1}{4\pi\epsilon_0} \int d^3r' \rho(\mathbf{r}') \frac{1}{|\mathbf{r} - \mathbf{r}'|^3} \\ &= \frac{1}{4\pi\epsilon_0} \int_V d^3r' \rho(\mathbf{r}') \nabla_{\mathbf{r}} \cdot \frac{1}{|\mathbf{r} - \mathbf{r}'|^3} \end{aligned}$$

x -Anteil:

$$\begin{aligned} \frac{\partial}{\partial x} \frac{x - x'}{[(x - x')^2 + (y - y')^2 + (z - z')^2]^{3/2}} &= \frac{1 \cdot [\dots]^{3/2} (x - x') (x - x')^{3/2} \cdot 2 [\dots]^{1/2}}{[\dots]^3} \\ &= \frac{[\dots]^{1/2} ((x - x')^2 + (y - y')^2 + (z - z')^2 - 3(x - x')^2)}{[\dots]^{3/2}} \\ &= \frac{(y - y')^2 + (z - z')^2 - 2(x - x')^2}{[\dots]^{3/2}} \end{aligned}$$

$$\frac{\partial}{\partial y} \frac{y - y'}{[(x - x')^2 + (y - y')^2 + (z - z')^2]^{3/2}} = \frac{(x - x')^2 + (z - z')^2 - 2(y - y')^2}{[\dots]^{3/2}}$$

$$\frac{\partial}{\partial z} \frac{z - z'}{[(x - x')^2 + (y - y')^2 + (z - z')^2]^{3/2}} = \frac{(x - x')^2 + (y - y')^2 - 2(z - z')^2}{[\dots]^{3/2}}$$

$$\nabla \cdot \frac{\mathbf{r} - \mathbf{r}'}{|\mathbf{r} - \mathbf{r}'|^3} = 0 \quad \text{falls} \quad \mathbf{r} \neq \mathbf{r}'$$

\Rightarrow falls $\mathbf{r} \notin V$, d.h. \mathbf{r} in Gebiet ohne Ladungsdichte $\rho(\mathbf{r}) = 0$

$$\Rightarrow \nabla \cdot \mathbf{E}(\mathbf{r}) = 0$$

$\mathbf{r} \in V$: Grenzwertbetrachtung (Regularisierung des Integranden)
statt

$$\frac{\mathbf{r} - \mathbf{r}'}{|\mathbf{r} - \mathbf{r}'|^3} = \frac{\mathbf{r} - \mathbf{r}'}{[(x - x')^2 + (y - y')^2 + (z - z')^2]^{3/2}}$$

betrachten wir:

$$f_a(\mathbf{r} - \mathbf{r}') = \frac{\mathbf{r} - \mathbf{r}'}{[(x - x')^2 + (y - y')^2 + (z - z')^2 + a^2]^{3/2}} = \frac{\mathbf{r} - \mathbf{r}'}{[(\mathbf{r} - \mathbf{r}')^2 + a^2]^{3/2}} \quad a \in \mathbb{R}, a > 0$$

am Ende Grenzwert $\lim_{a \rightarrow 0}$

$$\nabla \cdot \mathbf{E}(\mathbf{r}) = \frac{1}{4\pi\epsilon_0} \lim_{a \rightarrow 0} \int_V d^3r' \rho(\mathbf{r}') \quad \boxed{\nabla_{\mathbf{r}} \cdot f_a(\mathbf{r} - \mathbf{r}')}$$

$$\begin{aligned} \frac{\partial}{\partial x} \frac{x - x'}{[(\mathbf{r} - \mathbf{r}')^2 + a^2]^{3/2}} &= \frac{[\dots + a^2]^{3/2} - (x - x') \frac{3}{2} \cdot 2(x - x') [\dots + a^2]^{1/2}}{[\dots + a^2]^3} \\ &= \frac{(y - y')^2 + (z - z')^2 + a^2 - 2(x - x')^2}{[\dots + a^2]^{3/2}} \end{aligned}$$

$$\nabla_{\mathbf{r}} \cdot f_a(\mathbf{r} - \mathbf{r}') = \frac{3a^2}{[(\mathbf{r} - \mathbf{r}')^2 + a^2]^{5/2}}$$

$$\lim_{a \rightarrow 0} f_a(\mathbf{r} - \mathbf{r}') = \begin{cases} 0 & \mathbf{r} \neq \mathbf{r}' \\ \infty & \mathbf{r} = \mathbf{r}' \end{cases}$$

\Rightarrow zum Integral $\int_V d^3r' \dots$ trägt (in Limes $a \rightarrow 0$) nur der Bereich $\mathbf{r}' \approx \mathbf{r}$ bei

$$K_R(\mathbf{r}) = \{\mathbf{r}' \in \mathbb{R}^3 : |\mathbf{r} - \mathbf{r}'| \leq R\}$$

$$\lim_{a \rightarrow 0} \int_V d^3r' \rho(\mathbf{r}') \nabla_{\mathbf{r}} \cdot f_a(\mathbf{r} - \mathbf{r}') = \lim_{a \rightarrow 0} \int_{K_R(F)} d^3r' \rho(\mathbf{r}') \frac{3a^2}{[(\mathbf{r} - \mathbf{r}')^2 + a^2]^{5/2}} + \lim_{a \rightarrow 0}$$

1. Integral:

$$\begin{aligned} \int_{K_R(0)} d^3\tilde{r} \rho(\mathbf{r}) \frac{3a^2}{(\tilde{r}^2 + a^2)^{5/2}} &= \rho(\mathbf{r}) \underbrace{\int_0^R d\tilde{r} \frac{3a^2}{(\tilde{r}^2 + a^2)^{5/2}}}_{\left[\frac{\tilde{r}^3}{(\tilde{r}^2 + a^2)^{3/2}} \right]_0^R} \underbrace{\int d\Omega}_{\substack{\sin \theta d\theta d\varphi \\ = 4\pi}} \\ &= 4\pi \rho(\mathbf{r}) \frac{R^3}{(R^2 + a^2)^{3/2}} \xrightarrow{a \rightarrow 0} 4\pi \rho(\mathbf{r}) \end{aligned}$$

2. Integral:

$$\begin{aligned} \int_{K_R(0)} d^3\tilde{r} \underbrace{\tilde{\mathbf{r}} \cdot \nabla_{\mathbf{r}} \rho(\mathbf{r})}_{\parallel \tilde{\mathbf{r}} \mathbf{e}_{\tilde{\mathbf{r}}}} \frac{3a^2}{(\tilde{r}^2 + a^2)^{5/2}} &= \underbrace{\int_0^R d\tilde{r} \frac{3a^2 \tilde{r}^3}{(\tilde{r}^2 + a^2)^{3/2}}}_{\frac{2}{3}a - 3a^2 \left(\frac{R^2 + \frac{2}{3}a^2}{(R^2 + a^2)^{3/2}} \right)} \underbrace{\int d\Omega \mathbf{e}_{\tilde{\mathbf{r}}} \cdot \nabla \rho(\mathbf{r})}_{\text{unabh. von } a} \xrightarrow{a \rightarrow 0} 0 \end{aligned}$$

gilt auch für alle höheren Terme

$$\lim_{a \rightarrow 0} \int_V d^3r' \rho(\mathbf{r}') \nabla_{\mathbf{r}} \cdot \frac{(\mathbf{r} - \mathbf{r}')}{[(\mathbf{r} - \mathbf{r}')^2 + a^2]^{3/2}} = 4\pi \rho(\mathbf{r})$$

$$\Rightarrow \nabla \cdot \mathbf{E}(\mathbf{r}) = \frac{1}{4\pi\epsilon_0} \lim_{a \rightarrow 0} \frac{''}{a} = \frac{1}{\epsilon_0} \rho(\mathbf{r})$$

$$\nabla \mathbf{E}(\mathbf{r}) = \frac{1}{\epsilon_0} \rho(\mathbf{r}) \quad \mathbf{r} \in \mathbb{R}^3$$

1.3.4 Zusammenfassung:

Feldgleichungen der Elektrostatik Mathe: partielle DGL

$$\nabla \mathbf{E}(\mathbf{r}) = \frac{1}{\epsilon_0} \rho(\mathbf{r}) \text{ inhomogene DGL}$$

$$\nabla \times \mathbf{E}(\mathbf{r}) = 0 \text{ homogene DGL}$$

DGL für Potential ϕ : $\mathbf{E} = -\nabla\phi$

$$\begin{aligned}\nabla \cdot \mathbf{E} &= \nabla \cdot (-\nabla\phi) = -\nabla \cdot \begin{pmatrix} \partial_x \phi \\ \partial_y \phi \\ \partial_z \phi \end{pmatrix} \\ &= -\underbrace{\left(\frac{\partial^2 \phi}{\partial x^2} + \frac{\partial^2 \phi}{\partial y^2} + \frac{\partial^2 \phi}{\partial z^2} \right)}_{=:\Delta\phi}\end{aligned}$$

Partielle DGL 2. Ordnung:

Poissonsgleichung

$$\Delta\Phi(\mathbf{r}) = -\frac{1}{\varepsilon_0}\rho(\mathbf{r})$$

für Gebiete mit $\rho(\mathbf{r}) = 0$:

$$\Delta\phi(\mathbf{r}) = 0 \quad \text{Laplacegleichung}$$

Darstellung der Deltafunktion:

$$\lim_{a \rightarrow 0} \int_{\mathbb{R}^3} d^3r' \rho(\mathbf{r}') \underbrace{\nabla_{\mathbf{r}} \cdot \frac{(\mathbf{r} - \mathbf{r}')}{[(\mathbf{r} - \mathbf{r}')^2 + a^2]^{3/2}}}_{\frac{3a^2}{[(\mathbf{r} - \mathbf{r}')^2 + a^2]^{5/2}} =: g_a(\mathbf{r}' - \mathbf{r})} = 4\pi\rho(\mathbf{r})$$

$\frac{1}{4\pi}g_a$ liefert Grenzwertdarstellung der δ -funktion.

$$\lim_{a \rightarrow 0} \int_{\mathbb{R}^3} d^3r' \rho(\mathbf{r}') \frac{1}{4\pi} g_a(\mathbf{r}' - \mathbf{r}) = \rho(\mathbf{r})$$

$$\lim_{a \rightarrow 0} g_a(\mathbf{r}' - \mathbf{r}) = \begin{cases} 0 & \mathbf{r} \neq \mathbf{r}' \\ \infty & \mathbf{r} = \mathbf{r}' \end{cases}$$

$$\delta(\mathbf{r}) = \lim_{a \rightarrow 0} \frac{1}{4\pi} \nabla_{\mathbf{r}} \cdot \frac{\mathbf{r}^2}{(r^2 + a^2)^{3/2}}$$

$$\stackrel{\text{formal}}{=} \frac{1}{4\pi} \nabla \cdot \underbrace{\frac{\mathbf{r}}{r^3}}_{=-\nabla \frac{1}{r}} = -\frac{1}{4\pi} \nabla \cdot \left(\nabla \frac{1}{r} \right) = \frac{-1}{4\pi} \Delta \frac{1}{r} \Rightarrow \Delta \frac{1}{r} = -4\pi\delta(\mathbf{r})$$

z.B. Potential einer Punktladung ρ q in \mathbf{r}_0 :

$$\phi(\mathbf{r}) = \frac{1}{4\pi\varepsilon_0} \frac{q}{|\mathbf{r} - \mathbf{r}_0|}$$

$$\Delta\phi(\mathbf{r}) = \frac{1}{4\pi\varepsilon_0} q \underbrace{\Delta_{\mathbf{r}} \frac{1}{|\mathbf{r} - \mathbf{r}_0|}}_{=-4\pi\delta(\mathbf{r} - \mathbf{r}_0)} = -\frac{1}{\varepsilon_0} \underbrace{q\delta(\mathbf{r} - \mathbf{r}_0)}_{=\rho(\mathbf{r})} = \frac{1}{\varepsilon_0}\rho(\mathbf{r})$$

Wiederholung

$$\nabla \cdot \mathbf{E}(\mathbf{r}) = \frac{1}{\varepsilon_0} \rho(\mathbf{r})$$

$$\nabla \times \mathbf{E}(\mathbf{r}) = 0$$

$$\Rightarrow \mathbf{E} = -\nabla \Phi$$

$$\Rightarrow \Delta \Phi(\mathbf{r}) = -\frac{1}{\varepsilon_0} \rho(\mathbf{r})$$

1.3.5 Integralsätze der Vektoranalysis

1) **Gaußscher Satz:** Sei $\mathbf{A}(\mathbf{r})$ ein Vektorfeld im Volumen $V \subset \mathbb{R}^3$, so gilt:

$$\int_V d^3r \nabla \cdot \mathbf{A}(\mathbf{r}) = \int_{\partial V} d\mathbf{f} \cdot \mathbf{A}(\mathbf{r})$$

∂V Rand von V

$$d\mathbf{f} = \mathbf{n} df$$

↓
nach aussen orientierter Normaleneinheitsvektor

Bemerkung:

i) Analogie 1D: Fundamentalsatz der Integralrechnung:

$$\int_a^b dx \frac{df}{dx} = f(b) - f(a)$$

ii) Geometrische / physikalische Integration:

Fluss des Vektorfeldes \mathbf{A} durch ∂V

$$\int_{\partial V} d\mathbf{f} \cdot \mathbf{A}$$

Integral über die Quellen von \mathbf{A}

$$\int_V d^3r \nabla \cdot \mathbf{A}$$

$$\mathbf{A} = \text{const.} \rightarrow \nabla \cdot \mathbf{A} = 0$$

Beispiel: Geschwindigkeit einer Flüssigkeit: $\mathbf{A}(\mathbf{r}) = \mathbf{v}(\mathbf{r})$

$$\mathbf{v} = \text{const.} \quad \nabla \cdot \mathbf{v} = 0 \quad \int_{\partial V} d\mathbf{f} \cdot \mathbf{v} = 0$$

\Rightarrow Es gibt keine Quellen von \mathbf{v}

$$\nabla \cdot \mathbf{r} \neq 0 \quad \int_{\partial V} d\mathbf{f} \cdot \mathbf{v} \neq 0$$

iii)

$$\int_V d^3r \nabla \cdot \mathbf{A}(\mathbf{r}) = \int_0^{\Delta x} dx \int_0^{\Delta y} dy \int_0^{\Delta z} dz \left(\frac{\partial A_x}{\partial x} + \frac{\partial A_y}{\partial y} + \frac{\partial A_z}{\partial z} \right)$$

$$\begin{aligned} & \int_0^{\Delta z} dz \int_0^{\Delta y} dy \underbrace{\int_0^{\Delta x} dx \frac{\partial A_x}{\partial x}}_{A_x(\Delta x, y, z) - A_x(0, y, z)} \\ &= \int_0^{\Delta z} dz \int_0^{\Delta y} dy A_x(\Delta x, y, z) - \int_0^{\Delta z} dz \int_0^{\Delta y} dy A_x(0, y, z) \\ &= \int_{F_A^+} d\mathbf{f} \cdot \mathbf{A} + \int_{F_A^-} d\mathbf{f} \cdot \mathbf{A} \end{aligned}$$

$$F_x^+ : d\mathbf{f} = \mathbf{e}_x dy dz \quad F_x^- : d\mathbf{f} = -\mathbf{e}_x dy dz$$

ebenso gilt dann für die anderen Koordinaten:

$$\begin{aligned} & \int_0^{\Delta x} dx \int_0^{\Delta z} dz \int_0^{\Delta y} dy \frac{\partial A_y}{\partial y} = \int_{F_y^+} d\mathbf{f} \cdot \mathbf{A} + \int_{F_y^-} d\mathbf{f} \cdot \mathbf{A} \\ & \int_0^{\Delta x} dx \int_0^{\Delta y} dy \int_0^{\Delta z} dz \frac{\partial A_z}{\partial z} = \int_{F_z^+} d\mathbf{f} \cdot \mathbf{A} + \int_{F_z^-} d\mathbf{f} \cdot \mathbf{A} \end{aligned}$$

$$\Rightarrow \int_V d^3r \nabla \cdot \mathbf{A} = \int_{\partial V} d\mathbf{f} \cdot \mathbf{A}$$

2) Stokescher Satz Sei $\mathbf{A}(\mathbf{r})$ ein Vektorfeld, F eine Fläche mit Randkurve ∂F , so gilt:

$$\int_{\text{Linienintegral} \rightarrow \partial F} d\mathbf{r} \mathbf{A}(\mathbf{r}) = \int_{\text{F} \leftarrow \text{Oberflächenint.}} d\mathbf{f} \cdot (\nabla \times \mathbf{A}(\mathbf{r}))$$

$$d\mathbf{f} = \mathbf{n} df$$

Richtung von $d\mathbf{f}$ und Umlauf sinn von ∂F : rechte Hand Regel.

Beispiel:

$$\mathbf{A}(\mathbf{r}) = \begin{pmatrix} -y \\ x \\ 0 \end{pmatrix}$$

$$\nabla \times \mathbf{A} = \begin{pmatrix} \frac{\partial A_z}{\partial y} - \frac{\partial A_y}{\partial z} \\ \frac{\partial A_x}{\partial z} - \frac{\partial A_z}{\partial x} \\ \frac{\partial A_y}{\partial x} - \frac{\partial A_x}{\partial y} \end{pmatrix} = \begin{pmatrix} 0 \\ 0 \\ 1+1 \end{pmatrix} = 2\mathbf{e}_z$$

$$\mathbf{r}(\varphi) = R \begin{pmatrix} \cos \varphi \\ \sin \varphi \\ 0 \end{pmatrix} \quad \varphi \in [0, 2\pi]$$

$$\frac{\partial \mathbf{r}}{\partial \varphi} = R \begin{pmatrix} -\sin \varphi \\ \cos \varphi \\ 0 \end{pmatrix}$$

$$\begin{aligned}\int_{\partial F} d\mathbf{r} \cdot \mathbf{A}(\mathbf{r}) &= \int_0^{2\pi} d\varphi \frac{\partial \mathbf{r}}{\partial \varphi} \cdot \mathbf{A}(\mathbf{r}(\varphi)) \\ &= \int_0^{2\pi} d\varphi R(+\sin^2 \varphi + \cos^2 \varphi) = 2\pi R^2\end{aligned}$$

$$\int_F d\mathbf{f} \cdot \overbrace{(\nabla \times \mathbf{A})}^{2\mathbf{e}_z} = 2\pi R^2$$

Vektorfeld ohne Wirbel z.B. $\mathbf{A} = \text{const.}$

$$\nabla \times \mathbf{A} = 0$$

Bemerkung:

1.3.6 Integrale Form der Feldgleichung

1.3.7 Gaußsches Gesetz

$$\nabla \cdot \mathbf{E} = \frac{1}{\varepsilon_0}$$

$$\begin{aligned}\int_V d^3r \nabla \cdot \mathbf{E}(\mathbf{r}) &= \frac{1}{\varepsilon_0} \int_V d^3r \rho(\mathbf{r}) = \frac{1}{\varepsilon_0} Q_V \\ &= \int_V d\mathbf{f} \cdot \mathbf{E}(\mathbf{r})\end{aligned}$$

$$\boxed{\int_{\partial V} d\mathbf{f} \cdot \mathbf{E}(\mathbf{r}) = \frac{1}{\varepsilon} Q_V}$$

Berechnung elektrischer Felder für hochsymmetrische Ladungsverteilungen

Beispiel:

Homogen geladene Kugel mit Radius R und Gesamtladung Q . Damit ist die Ladungsdichte innerhalb der Kugel:

$$\rho = \frac{Q}{V} = \frac{Q}{\frac{4}{3}\pi R^3}$$

$$\mathbf{E}(\mathbf{r}) = E_r(r)\mathbf{e}_r$$

$$\mathbf{r} = r \begin{pmatrix} \sin \theta \cos \varphi \\ \sin \theta \sin \varphi \\ \cos \theta \end{pmatrix}$$

$$\mathbf{e}_r = \frac{\mathbf{r}}{r}$$

Fluss von \mathbf{E} durch Oberfläche einer Kugel mit Radius r

$$d\mathbf{f} = \mathbf{e}_r r^2 \sin \theta d\theta d\varphi \Rightarrow d\mathbf{f} \cdot \mathbf{E} = E_r(r) r^2 \sin \theta d\theta d\varphi$$

$$\begin{aligned}\int_{\partial K_r(0)} d\mathbf{f} \cdot \mathbf{E} &= \int_0^T d\theta \int_0^{2\pi} d\varphi E_r(r) r^2 \sin \theta \\ &= E_r(r) r^2 4\pi \\ &= \frac{1}{\varepsilon_0} Q_{K_r(0)} = \frac{1}{\varepsilon_0} \int_{K_r(0)} d^3r \rho(\mathbf{r}) = \frac{1}{\varepsilon_0} \begin{cases} Q & r > R \\ Q \frac{r^3}{R^3} & r \leq R \end{cases} \\ \Rightarrow E_r(r) &= \frac{Q}{4\pi\varepsilon_0} \begin{cases} \frac{1}{r^2} & r > R \\ \frac{r}{R^3} & r \leq R \end{cases}\end{aligned}$$

1.3.8 Satz von Stokes

$$\nabla \times \mathbf{E} = 0$$

Definition: $\gamma = \partial F$

\int_{γ} ist dann ein Linienintegral über eine geschlossene Kurve

$$\int_{\gamma} d\mathbf{r} \cdot \mathbf{E} = \int_F d\mathbf{f} \cdot (\nabla \times \mathbf{E}) = 0$$

1.3.9 Zusammenfassung: Feldgleichungen der Elektrostatik

differentielle Darstellung:

$$\nabla \cdot \mathbf{E} = \frac{1}{\varepsilon_0} \rho \quad \nabla \times \mathbf{E} = 0 \quad \rightarrow \quad \mathbf{E} = -\nabla \Phi \quad \rightarrow \quad \Delta \Phi = -\frac{1}{\varepsilon_0} \rho$$

Integral Darstellung:

$$\int_{\partial V} d\mathbf{f} \cdot \mathbf{E} = \frac{1}{\varepsilon_0} Q_V \quad , \quad \oint_{\gamma} d\mathbf{r} \cdot \mathbf{E} = 0$$

1.4 Elektrostatische Energie

potentielle Energie einer Punktladung im äußeren elektrischen Feld

Kraft auf Ladung q :

$$\mathbf{F} = q\mathbf{E}$$

Die Arbeit bei Verschiebung der Ladung von \mathbf{a} nach \mathbf{b}

$$\begin{aligned} W &= - \int_{\mathbf{a}}^{\mathbf{b}} d\mathbf{r} \cdot \mathbf{F} = -q \int_{\mathbf{a}}^{\mathbf{b}} d\mathbf{r} \cdot \mathbf{E}(\mathbf{r}) \\ &= q \int_{\mathbf{a}}^{\mathbf{b}} d\mathbf{r} \cdot \nabla \Phi = q \underbrace{(\Phi(\mathbf{b}) - \Phi(\mathbf{a}))}_{\text{Potentialdifferenz}} \end{aligned}$$

Die Arbeit um q aus dem unendlichen ∞ nach \mathbf{r} zu bringen ist dann:

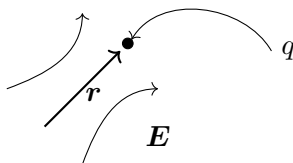
$$W = q(\Phi(\mathbf{r}) - \Phi(\infty))$$

Zur Referenz: $\Phi(\infty) = 0$

Damit ist die Energie der Ladung q im äußeren Feld:

$$\Rightarrow W = q(\Phi(\mathbf{r}))$$

$$\mathbf{E} = -\nabla \Phi$$



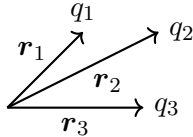
1.4.1 Elektrostatistische Potentielle Energie

Energie einer Verteilung von Punktladungen N Ladungen q : an Orten \mathbf{r}_i

Zunächst: $\underbrace{i-1}_{\text{erzeugen am Ort } \mathbf{r}_i}$ Ladungen q_j bei \mathbf{r}_j

Das Potential

$$\Phi(\mathbf{r}_i) = \frac{1}{4\pi\epsilon_0} \sum_{j=1}^{i-1} \frac{q_j}{|\mathbf{r}_j - \mathbf{r}_i|}$$



Arbeit um i -te Ladung aus dem unendlichen nach \mathbf{r} zu bringen:

$$W_i = q_i \Phi(\mathbf{r}_i) = \frac{1}{4\pi\epsilon_0} \sum_{j=1}^{i-1} \frac{q_i q_j}{r_{ij}}$$

Somit ergibt sich die gesamte Arbeit für N Ladungen als:

$$\begin{aligned} W &= \sum_{i=2}^N W_i = \frac{1}{4\pi\epsilon_0} \sum_{i=2}^N \sum_{j=1}^{i-1} \frac{q_i q_j}{r_{ij}} \\ &= \frac{1}{2} \sum_{i=1}^N \sum_{j=1}^N \frac{q_i q_j}{r_{ij}} \end{aligned}$$

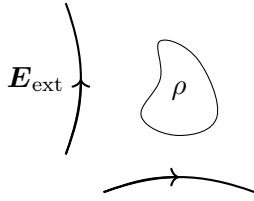
$$\Rightarrow W = \frac{1}{8\pi\epsilon_0} \sum_{\substack{i,j \\ i \neq j}} \frac{q_i q_j}{r_{ij}}$$

$$\begin{aligned} W &= \frac{1}{2} \sum_{i=1}^N q_i \underbrace{\left(\sum_{\substack{j \\ j \neq i}} \frac{1}{4\pi\epsilon_0} \frac{q_j}{r_{ij}} \right)}_{\Phi_i(\mathbf{r}_i)} \\ &= \frac{1}{2} \sum_{i=1}^N q_i \Phi_i(\mathbf{r}_i) \end{aligned}$$

Energie einer kontinuierlichen lokalisierten Ladungsverteilung



$$\begin{aligned} W &= \frac{1}{8\pi\epsilon_0} \int d^3r \int d^3r' \frac{\rho(\mathbf{r})\rho(\mathbf{r}')}{|\mathbf{r} - \mathbf{r}'|} \\ &= \frac{1}{2} \int d^3r \rho(\mathbf{r}) \underbrace{\frac{1}{4\pi\epsilon_0} \int_{\mathbb{R}^3} d^3r' \frac{\rho(\mathbf{r}')}{|\mathbf{r} - \mathbf{r}'|}}_{\Phi(\mathbf{r})} \end{aligned}$$



$$W_{\text{ext}} = \int d^3r \rho(\mathbf{r}) \Phi_{\text{ext}}(\mathbf{r})$$

Energie W durch \mathbf{E} ausdrücken:

$$\begin{aligned} \Delta\Phi &= -\frac{1}{\varepsilon_0}\rho \quad \Rightarrow \quad W = -\frac{1}{2} \int d^3r \varepsilon_0 \underbrace{\Delta\Phi(\mathbf{r})\Phi(\mathbf{r})}_{\substack{\nabla \cdot (\Phi \nabla \Phi) - (\nabla \Phi)^2 \\ \parallel \\ \mathbf{E}}} \\ &= -\frac{\varepsilon_0}{2} \underbrace{\int_{\mathbb{R}^3} d^3r \nabla \cdot (\Phi \nabla \Phi)}_{\substack{\lim_{R \rightarrow \infty} \int_{K_R(0)} d^3r \nabla \cdot (\Phi \nabla \Phi) = \lim_{R \rightarrow \infty} \int_{\partial K_R(0)} d\mathbf{f} \cdot \underbrace{(\Phi \nabla \Phi)}_{\substack{R \rightarrow \infty \frac{1}{R^3} \\ \sim \frac{1}{R}}} = 0}} + \frac{\varepsilon_0}{2} \int d^3r \mathbf{E}(\mathbf{r}) \\ &= \frac{\varepsilon_0}{2} \int d^3r \mathbf{E}(\mathbf{r}) \end{aligned}$$

Zur Umformung oben wurde benutzt:

$$\Phi \stackrel{R \rightarrow \infty}{\sim} \frac{1}{R} \quad \nabla \Phi \sim \frac{1}{R^2} \quad d\mathbf{f} = \underbrace{\mathbf{n}}_{\sim R^2} df$$

Damit ergibt sich für die Energie einer Verteilung von Punktladungen

$$\Rightarrow \quad \boxed{W = \frac{\varepsilon_0}{2} \int d^3r \mathbf{E}^2(\mathbf{r})} \quad \text{nicht für Punktladungen}$$

Energiedichte des elektrostatischen Feldes

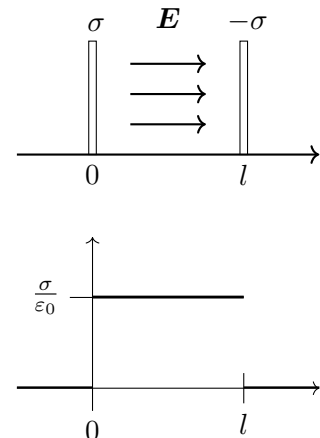
$$\boxed{w(\mathbf{r}) = \frac{\varepsilon_0}{2} \mathbf{E}^2(\mathbf{r})}$$

Beispiel: Plattenkondensator

Fläche F , Ladung $\rightarrow r = \frac{q}{F} \rightarrow \mathbf{E} = \frac{r}{\varepsilon_0} \mathbf{e}_x$

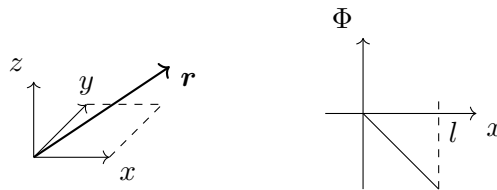
\rightarrow Die Energiedichte ist: $w = \frac{\varepsilon_0}{2} \mathbf{E}^2 = \frac{\sigma^2}{2\varepsilon_0}$ (nicht für Punktladungen)

\rightarrow Die Energie beträgt: $W = \int d^3r w(\mathbf{r}) = l \cdot F \cdot \frac{\sigma^2}{2\varepsilon_0}$



Potentialdifferenz - Spannung

$$\Phi(\mathbf{r}) - \Phi(0) = - \int_0^{\mathbf{r}} d\mathbf{r}' \cdot \mathbf{E}(\mathbf{r}') = - \int_0^x dx' \frac{\sigma}{\varepsilon_0} = - \frac{\sigma}{\varepsilon} x$$



Die Spannung zwischen zwei Kondensatorplatten ist dann:

$$U = \Phi(0) - \Phi(l) = \frac{\sigma}{\varepsilon_0} l = \frac{q}{\varepsilon_0 F} l$$

Die Kapazität ist also:

$$C = \frac{q}{U} = \frac{\varepsilon_0 F}{l}$$

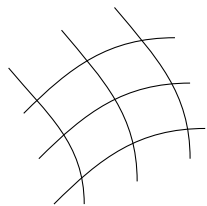
Was ist die Energie bei einer Verteilung von Punktladungen und bei einer kontinuierlichen Ladungsverteilung. Bei einer kontinuierlichen Ladungsverteilung haben wir herausgefunden:

$$W = \frac{1}{8\pi\varepsilon_0} \sum_{\substack{i,j \\ i \neq j}} \frac{q_i q_j}{r_{ij}} \quad \text{für Punktladungen}$$

Die Energie der Punktladung selbst steckt hier nicht drinnen. Man muss dabei aufpassen, welche Gleichung man für welches Modell benutzt.

$$\mathbf{E} = \frac{1}{4\pi\varepsilon_0} q \frac{\mathbf{r}}{r^3} \quad \int d^3r \mathbf{E}^2 = \int d^3r \frac{1}{r^4} = \infty$$

1.5 Verhalten des el. Feldes an Grenzflächen mit Flächenladung



Normalkomponente \mathbf{E}_\perp Gaußscher Satz für V :

$$\begin{aligned} \int_V d^3r' \nabla \cdot \mathbf{E}(\mathbf{r}) &= \int_{\partial V} d\mathbf{f}' \cdot \mathbf{E}(\mathbf{r}) \\ &= \int_{\text{Mantel}} d\mathbf{f}' \cdot \mathbf{E} + \int_{\partial V_+} d\mathbf{f}' \cdot \mathbf{E}(\mathbf{r}) + \int_{\partial V_-} d\mathbf{f}' \cdot \mathbf{E} \\ &\quad \downarrow \Delta z \rightarrow 0 \quad \downarrow \Delta z \rightarrow 0 \quad \downarrow \Delta z \rightarrow 0 \\ &\quad 0 \quad \int_F df' \mathbf{n} \cdot \mathbf{E}_+ \quad - \int_F df' \mathbf{n} \cdot \mathbf{E}_- \end{aligned}$$

\mathbf{E}_\pm ist das Feld auf beiden Seiten der Grenzfläche

$$\int_{\partial V} d\mathbf{f}' \cdot \mathbf{E} \xrightarrow{\Delta z \rightarrow 0} \int_F df \mathbf{n} \cdot (\mathbf{E}_+ - \mathbf{E}_-) \xrightarrow{F \rightarrow 0} F \mathbf{n} \cdot (\mathbf{E}_+(r) - \mathbf{E}_-(r))$$

||

$$\int_V d^3r' \nabla \cdot \mathbf{E}(\mathbf{r}') = \frac{1}{\varepsilon_0} \int_V d^3r' \rho(\mathbf{r}) = \frac{1}{\varepsilon_0} \int_F df' \sigma(\mathbf{r}') \xrightarrow{F \rightarrow 0} \frac{1}{\varepsilon_0} F \sigma(\mathbf{r})$$

$$\underset{\frac{1}{\varepsilon_0} \rho(\mathbf{r}')}{\parallel}$$

$$\Rightarrow \mathbf{n} \cdot (\mathbf{E}_+(\mathbf{r}) - \mathbf{E}_-(\mathbf{r})) = \frac{1}{\varepsilon_0} \sigma(\mathbf{r})$$

$$E_{\perp\pm} = \mathbf{n} \cdot \mathbf{E}_{\pm} \quad E_{\perp+}(\mathbf{r}) - E_{\perp-}(\mathbf{r}) = \frac{1}{\varepsilon_0} \sigma(\mathbf{r})$$

$$0 = \oint_{\gamma} d\mathbf{r}' \cdot \mathbf{E} \xrightarrow{\Delta z \rightarrow 0} \int_{-\frac{L}{2}}^{-\frac{L}{2}} ds t \cdot (\mathbf{E}_+ - \mathbf{E}_-) \xrightarrow{L \rightarrow 0} L t \cdot (\mathbf{E}_+(\mathbf{r}) - \mathbf{E}_-(\mathbf{r})) = 0$$

$$\rightarrow \mathbf{t} \cdot (\mathbf{E}_+(\mathbf{r}) - \mathbf{E}_-(\mathbf{r})) = 0$$

→ Die Tangentialkomponente ist stetig

$$E_{\parallel+} = E_{\parallel-}$$

Insgesamt ergibt sich damit:

$$\mathbf{E}_+(\mathbf{r}) - \mathbf{E}_-(\mathbf{r}) = \frac{\sigma}{\varepsilon_0} \mathbf{n}$$

Das elektrische Potential Φ ist damit stetig.

$$\underbrace{\Phi(\mathbf{r}_b) - \Phi(\mathbf{r}_a)}_{\Phi_+(\mathbf{r}) - \Phi_-(\mathbf{r})} = \int_{\mathbf{r}_a}^{\mathbf{r}_b} d\mathbf{r}' \cdot \mathbf{E} \xrightarrow{\Delta z \rightarrow 0} 0$$

Randbedingungen an el. Leitern Leiter: Material mit freibeweglichen Ladungsträgern (Metall)

Eigenschaften von \mathbf{E} im Leiter:

i) $\mathbf{E} = 0$

ii) $0 = \nabla \cdot \mathbf{E} = \frac{1}{\varepsilon_0} \rho, \quad \rho(\mathbf{r}) = 0$

iii) Nettoladung befinden sich an Oberfläche

iv) Potential $\Phi(\mathbf{r}_b) - \Phi(\mathbf{r}_a) = 0 \rightarrow \Phi(\mathbf{r}) = \text{const.}$

Randbedingungen

$$\mathbf{E}_+ - \mathbf{E}_- = \frac{\sigma^-}{\varepsilon_0} \mathbf{n}$$

$$\mathbf{E}_- = 0$$

$$\rightarrow \mathbf{E}_+(\mathbf{r}) = \frac{\sigma(\mathbf{r})}{\varepsilon_0} \mathbf{n}(\mathbf{r})$$

[Folie: Ladung an Oberfläche eines Leiters]

